

УДК 564.329:551.763 (470.44/47)

БРЮХОНОГИЕ МОЛЛЮСКИ СЕМЕЙСТВА APORRHAIIDAE ИЗ НИЖНЕМЕЛОВЫХ ОТЛОЖЕНИЙ УЛЬЯНОВСКОГО ПОВОЛЖЬЯ

© 2012 г. И. В. Благовещенский, И. А. Шумилкин

Ульяновский государственный университет

e-mail: globularia@mail.ru

Поступила в редакцию 28.05.2010 г.

Принята к печати 20.06.2011 г.

Описаны три новых вида в составе рода *Trilemma* (сем. *Aporrhaidae*) из нижнемеловых отложений Ульяновского Поволжья: *T. polivnense* Blagovetshenskiy, sp. nov., *T. kremenkense* Blagovetshenskiy, sp. nov., *T. tenuicarinatedum* Blagovetshenskiy, sp. nov. Приведены сведения о стратиграфическом распространении этих видов.

В нижнемеловых отложениях Ульяновского Поволжья семейство *Aporrhaidae* представлено одним родом *Trilemma* Blagovetshenskiy et Shumilkin, 2006 и четырьмя видами. На основании анализа литературных данных и материалов собственных исследований последних лет следует, что общее число видов, входящих в данный род, составляет 22 (см. описательную часть). Различия между видами рода *Trilemma*, описанными в мировой литературе, не всегда ясны. Это обусловлено недостаточной сохранностью представленного материала, отсутствием данных о строении протоконхов и ювенильных раковин, зачастую неинформативными изображениями.

Виды, относящиеся к роду *Trilemma*, имеют веретеновидные раковины с двукилеватыми (или трехкилеватыми оборотами). Имеются три отростка, отходящих от палатального и палатально-париетального края устья, и ростр. Протоконх гомеострофный, гладкий, имеет нерезкую границу с телеоконхом. При таком общем плане строения виды, тем не менее, могут надежно различаться по целому ряду признаков строения раковины. На основании новых оригинальных материалов и литературных данных авторы считают, что дифференцирующее значение для видов рода *Trilemma* имеют следующие признаки:

1. Количество килей на обороте и степень их развития: одни виды имеют два, другие - три килея. Этот признак очень надежен, но в полной мере проявляется лишь у взрослых особей. При этом третий киль, расположенный на основании раковины, заметен лишь на последнем обороте (в настоящей статье кили нумеруются сверху вниз).

2. Особенности формирования килей: кили на оборотах раковины формируются в результате усиления определенных спиральных ребрышек от

оборота к обороту. Эти ребрышки удобно отсчитывать от вышележащего шва. Виды рода *Trilemma* из нижнего мела Ульяновского Поволжья образуют два верхних килея из 2-го и 4-го (*T. polivnense* sp. nov., *T. kremenkense* sp. nov.), 3-го и 5-го (*T. russiense* Blagovetshenskiy et Shumilkin, 2006), 1-го и 7-го (*T. tenuicarinatedum* sp. nov.) спиральных ребрышек.

3. Форма и длина отростков, угол их наклона по отношению к оси раковины. Отростки в полной мере развиваются лишь у взрослых особей, при этом сохраняются довольно редко.

4. Количество спиральных ребрышек в межкилевом пространстве. Их число обычно зависит от того, из каких спиральных ребер образовались кили (не усилившиеся спиральные ребра и оказываются в межкилевом пространстве). При этом следует учитывать, что у некоторых видов здесь появляются и вторичные ребрышки, т.е. появившиеся в процессе развития телеоконха.

5. Количество спиральных ребрышек выше верхнего килея.

6. Форма ячеек, образованных пересечением осевых и спиральных ребер, степень и направление вытянутости ячеек. Эти признаки зависят от количества осевых и спиральных ребер на оборотах и степени изогнутости осевых ребер.

Ревизия рода *Trilemma* с учетом перечисленных дифференцирующих признаков позволила уточнить видовую принадлежность представителей, известных из Ульяновского и Саратовского Поволжья (Пчелинцев, 1926; Иванова, 1959; Благовещенский, Шумилкин, 2006; Головинова, Гужов, 2009). Приводимая ранее нами форма (Благовещенский, Шумилкин, 2006) как *T. striatocarinatedum* (Sinow, 1880) является самостоятельным видом, хотя и близким к описанному И.Ф. Синцовым. В настоящей работе она рассматривается как новый

вид — *T. polivnense* Blagovetshenskiy, sp. nov. Последний отличается от *T. striatocarinatum* более мощными киями и иным количеством спиральных ребрышек в межкильевом пространстве и выше первого кия. Кроме того, *T. polivnense* sp. nov. распространена в зоне Simbirskites decheni верхнего готерива, а *T. striatocarinatum* (Sinzow, 1880) — в нижнем апте. Синцов (1880) указывает на приуроченность этого вида к песчаным и глинистым отложениям нижнего мела Соколовой горы г. Саратова. Стратиграфическими исследованиями последних лет (Барабошкин, Михайлова, 2002, с. 87, рис. 2) установлено, что пески и часть глин под ними в районе Соколовой горы относятся к нижнему апту, зоне *Deshayesites tenuicostatus*. Аптский возраст этих отложений подтверждается и палеомагнитными данными (Гришанов, 1984). Возможно, вид встречается и в верхней части баррема, о чем свидетельствуют его находки в нижележащих глинах вместе с белемнитами (Синцов, 1880). Готеривский возраст можно с уверенностью исключить, поскольку отложения яруса в окрестностях Саратова, если и присутствуют, то практически лишены макрофауны (устное сообщение Е.Ю. Барабошкина).

Таким образом, авторы, соглашаясь с точкой зрения М.А. Головиновой и А.В. Гужова (2009), что форма, отнесенная нами ранее к *Trilemma striatocarinatum*, является другим видом, в то же время считают лишенным достаточных оснований утверждение упомянутых авторов, что изображенная ими форма, из района с. Докторовка Саратовской области (Головинова, Гужов, 2009, с. 32, табл. 2, фиг. 8) является *T. striatocarinatum*. Данная форма является субювенильной, а в работе Синцова (1880, с. 6, табл. 3, фиг. 1) приведено изображение взрослой особи (форма фиг. 3 этой же таблицы, рассматриваемая Синцовым как молодой экземпляр *T. striatocarinatum*, скорее всего к семейству Aporrhaidae отношения не имеет; по мнению Гужова, она больше напоминает представителя семейства Mathildidae). Очевидно, что в процессе онтогенеза может появиться третий киль, возникнуть вторичные ребрышки, в той или иной степени усилятся кили и прочие признаки, отсутствующие у молодых особей. Кроме того, вполне вероятно, что *T. striatocarinatum* является не единственным видом этого рода из аптских отложений Саратова. Так, в апте Ульяновского Поволжья встречаются две или три различающиеся между собой формы, относящиеся к роду *Trilemma*, кроме того, барремский вид *T. kremenkense* sp. nov. заходит в основание нижнего апта (рис. 1).

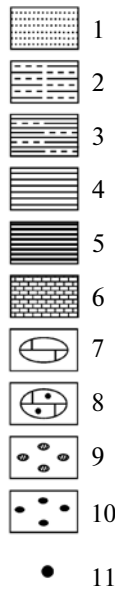
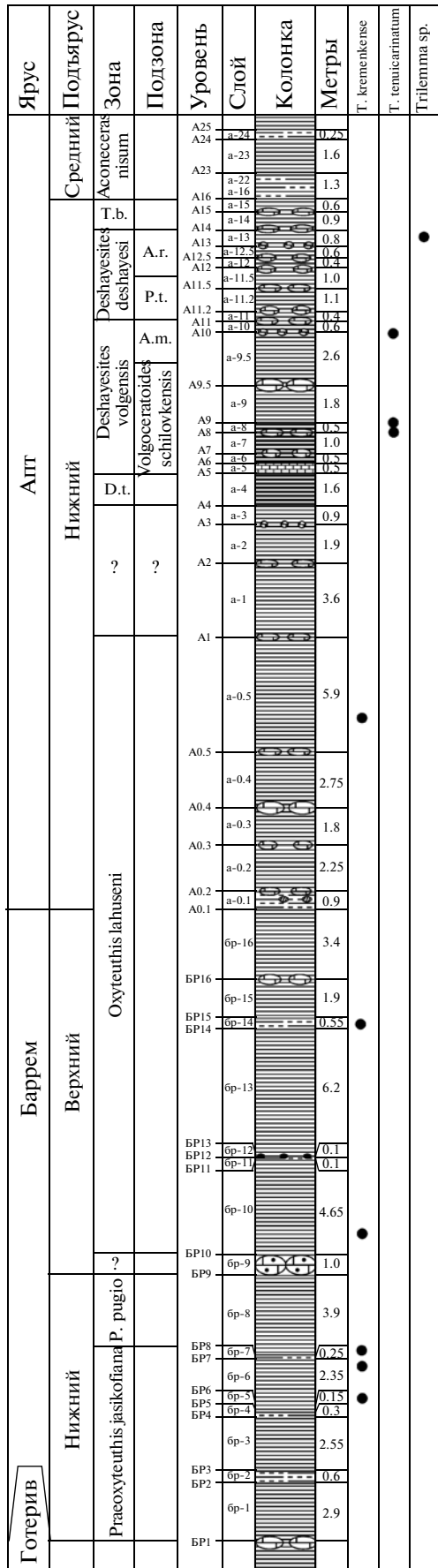
Утверждение Головиновой и Гужова, что изображенная ими форма собрана из того же уровня, откуда впервые описан вид *T. striatocarinatum*,

также может быть поставлено под сомнение. Как упоминалось выше, экземпляры, собранные Синцовым, происходят из зоны *Deshayesites tenuicostatus* нижнего апта, а форма, изображенная в работе Головиновой и Гужова (2009) — из зоны *Deshayesites deshayesi*. Это подтверждается данными Е.Ю. Барабошкина и И.А. Михайловой (2002, с. 87, рис. 2), из которых следует, что в районе Докторовки вскрываются отложения зоны *Deshayesites deshayesi* нижнего апта. Для точного установления стратиграфического положения *T. striatocarinatum*, а также для получения более надежных сведений о его морфологии и онтогенезе, необходимы систематические послонные сборы всех возрастных стадий этого вида в пределах баррема и апта в районе г. Саратова.

Из барремских и аптских (“альбских”) отложений Саратовской области известна апорраида, описанная В.Ф. Пчелинцевым (1926, с. 997, табл. 33, фиг. 11–12) и А.Н. Ивановой (1959, с. 364, табл. 15, фиг. 8–9) как *T. ebrayi* (Loriol, 1882). Эта форма существенно отличается от изображения в работе П. Лориоля (Loriol, 1882, с. 25, табл. 3, фиг. 16–20) наличием третьего кия в основании раковины и, видимо, аналогична описанной в настоящей статье *Trilemma kremenkense* sp. nov. из баррема Ульяновской области.

Ниже даны описания трех новых видов рода *Trilemma* из готеривских, барремских и аптских отложений Ульяновского Поволжья. Описание первого вида *T. polivnense* Blagovetshenskiy, sp. nov. дано по возможности более кратко, так как данные о его морфологии, стратиграфическом распространении, сравнение с другими видами приведены ранее (Благовещенский, Шумилкин, 2006). Вместе с тем, авторы считают необходимым привести изображение двух образцов *T. polivnense* sp. nov. с сохранившимися отростками края устья, имеющими важное значение для диагностики вида. Один из этих образцов принят в качестве голотипа вида. Также приведен дополненный и уточненный видовой состав рода. На рис. 2 даны схематические изображения взрослых и ювенильных особей видов рода *Trilemma*, иллюстрирующие отличия между ними. Стратиграфическое распространение *T. kremenkense* sp. nov. и *T. tenuicarinatum* sp. nov. приведено на рис. 1. Зональное расчленение изученных нами аптских и барремских отложений дано в соответствии с новейшими стратиграфическими работами (Барабошкин, Михайлова, 2002; Guzhikov et al., 2003; Барабошкин, 2004а, б; Baraboshkin, Mutterlose, 2004).

Использованный в настоящей работе материал хранится в Естественно-научном музее Ульяновского государственного университета (ЕНМ УлГУ, колл. № 220).



Trilemma striatocarinatum (Sinow, 1880)

Aporrhais striatocarinata: Синцов, 1880, с. 6, табл. 3, фиг. 1 (поп. табл. 3, фиг. 2–4).

Лектотип изображен Синцовым (1880, табл. 3, фиг. 1), место хранения неизвестно; нижний апт, зона *Deshayesites tenuicostatus*, возможно верхний баррем, зона *Oxyteuthis lahuseni* Саратовского Поволжья.

Рис. 1. Распространение моллюсков рода *Trilemma* в барреме и апте Ульяновского Поволжья. Обозначения: 1 – пески; 2 – алевроиты глинистые; 3 – переслаивание алевроитов и глин; 4 – глины; 5 – глины сланцеватые; 6 – глинистые известняки (аптская плита); 7 – конкреции известняка; 8 – конкреции алевроитовые; 9 – стяжения сульфидов; 10 – фосфориты; 11 – находки гастропод; зоны и подзоны: D.t. – *Deshayesites tenuicostatus*; A.m. – *Ancylloceras matheronianum*; Pt. – *Proaustraliceras tuberculatum*; A.r. – *Audouliceras renauxianum*; T.b. – *Trophaeum bowerbanki* (зональное расчленение дано по Барабошкину, Михайловой, 2002; Барабошкину, 2004а, б).

ОТ Р Я Д ALATA

НА Д С Е М Е Й С Т В О STROMBOIDEA
RAFINESQUE, 1815

СЕМЕЙСТВО APORRHAIIDAE GRAY, 1850

Род *Trilemma* Blagovetshenskiy et Shumilkin, 2006

Типовой вид – *Aporrhais striatocarinata* Sinow, 1880; нижний мел, нижний апт; Саратовская обл.

Видовой состав. Кроме типового, еще 21 вид: *T. bicarinatum* (Deshayes, 1842) из альба Франции; *T. densestriatum* (Kase, 1980) из баррема Японии; *T. ebrayi* (Loriol, 1882) из альба Швейцарии; *T. fittoni* (Forbes, 1845) из нижнего апта Англии; *T. giganteum* (Kase, 1984) из баррема северо-востока Японии; *T. kremenkense* Blagovetshenskiy, sp. nov.; *T. moreausianum* (d'Orbigny, 1842) из неокома Франции; *T. polivnense* Blagovetshenskiy, sp. nov.; *T. retusum* (Sowerby, 1836) из альба Англии; *T. russiense* Blagovetshenskiy et Shumilkin, 2006 из верхнего готерива (зона *versicolor*) России (Ульяновская обл.); *T. tenuicarinatum* Blagovetshenskiy, sp. nov.; *T. arrialoorensis* (Stoliczka, 1867) из сенона Южной Индии; *T. acutimarginatum* (Nagao, 1932) из сенона Сахалина и Хоккайдо; *T. ditropis* (Rueckholt, 1862) из мела Бельгии; *T. ebersini* (Plam ädialä, 1982) из нижнего сеномана востока Прикаспийской впадины (Западный Казахстан); *T. histochila* (Gardner, 1875) из альба Англии; *T. japonicum* (Yabe et Nagao, 1928) из сенона Хоккайдо; *T. oligoochila* (Gardner, 1875) из сеномана Англии; *T. piettei* (Buvignier, 1852) из верхней юры Дании; *T. pyriforme* (Kner, 1850) и *T. trinale* (Murphy et Rodda, 1960) из верхнего альба–верхнего сеномана Калифорнии.


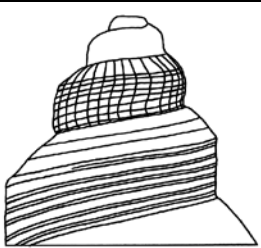




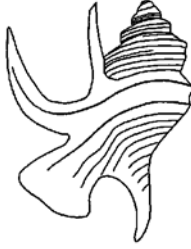

	Взрослая особь	Ювенильная особь
Апт., зона volgensis	 Trilemma tenuicarinarum	
Баррем	 Trilemma kremenkense	
Готерив, зона decheni	 Trilemma polivnense	
Готерив, зона versicolor	 Trilemma russiense	

Рис. 2. Строение раковин взрослых (с элементами реконструкции) и ювенильных особей видов рода Trilemma из нижнемеловых отложений Ульяновского Поволжья.

Описание (рис. 3). Раковина средних размеров, до 20 мм, веретеновидная, с крыловидным расширением палатального края устья, из семи двукилеватых оборотов. В основании последнего оборота у взрослых особей под вторым килем проявляется третий, по форме и степени развития аналогичный вышележащим килем. Расстояние между килем примерно одинаковое. Спиральная скульптура помимо килей представлена слабыми спиральными ребрышками. На последнем

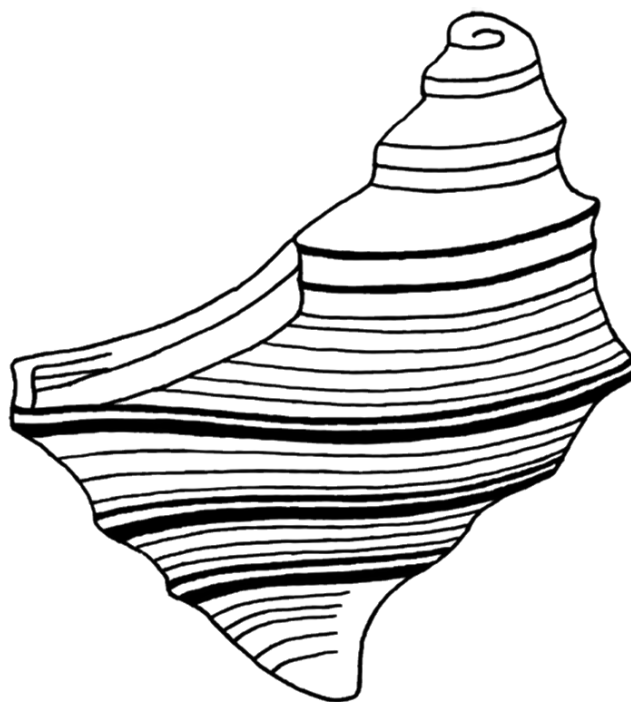


Рис. 3. Схема строения раковины взрослой особи Trilemma striatocarinarum (по Синцову, 1880).

обороте выше первого килея имеются пять спиральных ребрышек, между первым и вторым, а также между вторым и третьим килем — по три спиральных ребрышка. Осевая скульптура представлена тонкими осевыми ребрышками, постепенно слабеющими к основанию раковины.

Сравнение. Отличия от нижеописанных видов рода даны при описании этих видов.

Материал. Изучен только по изображению лектотипа в работе И.Ф. Синцова (1880, табл. 3, фиг. 1).

Trilemma polivnense Blagovetshenskiy, sp. nov.

Табл. I, фиг. 1, 2

?Aporrhais (Tessarolax) bicarinata: Wollemann, 1912, с. 181, табл. 13, фиг. 12.

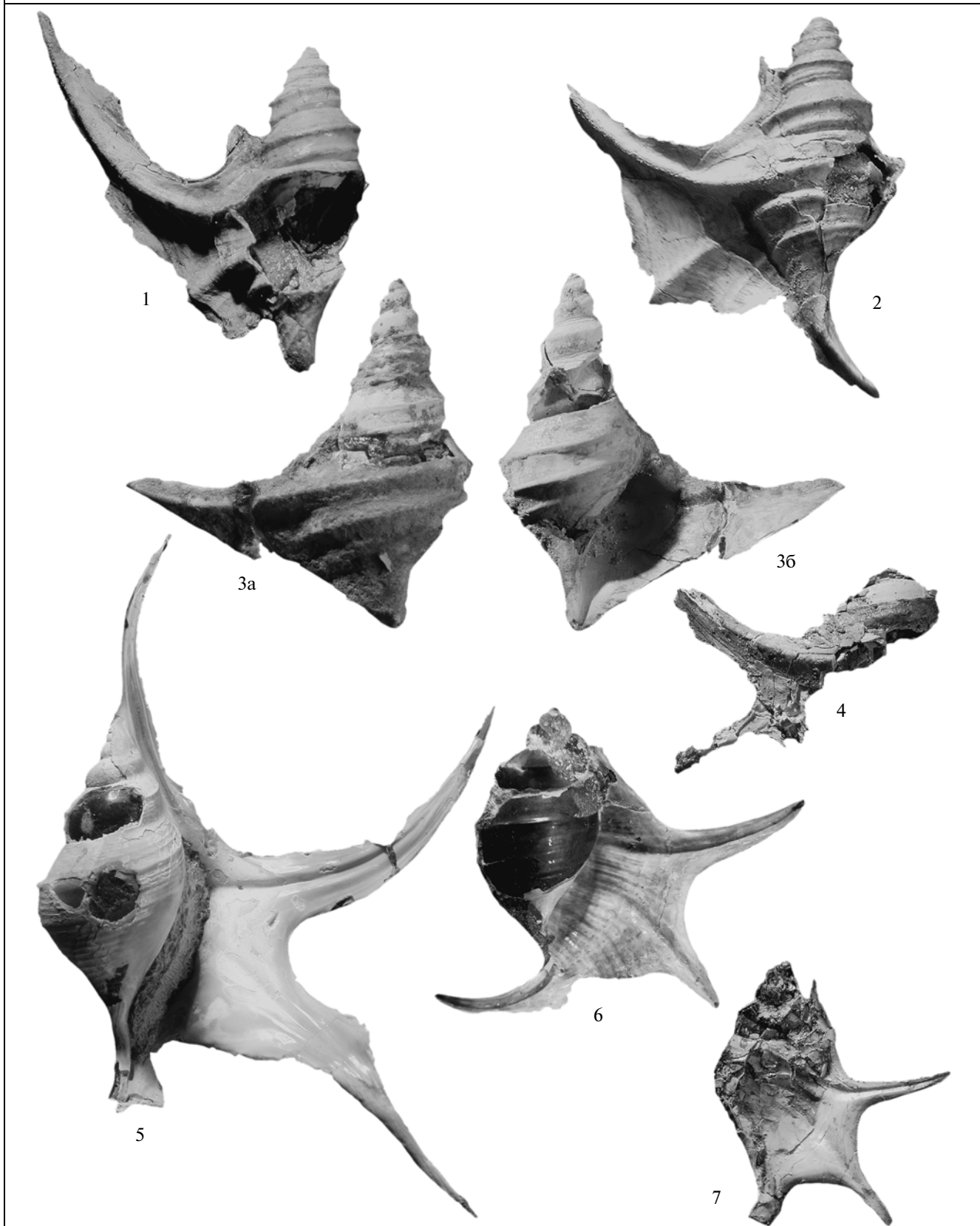
Trilemma striatocarinarum: Благовещенский, Шумилкин, 2006, с. 40, табл. 6, фиг. 2–6.

Название вида от с. Поливна.

Голотип — ЕНМ УлГУ, № 220/3; Ульяновская обл., с. Поливна; верхний готерив, зона decheni.

Описание (рис. 2). Раковина средних размеров, до 25 мм, веретеновидная, с крыловидным расширением палатального края устья, из семи — восьми двукилеватых оборотов. В основании последнего оборота у взрослых особей под вторым

Таблица I



килем проявляется третий, несколько меньших размеров.

Протококнх гладкий, состоит из 3.5 оборотов, затем постепенно появляются спиральные ребрышки и несколько позже осевые. На четвертом обороте завитка хорошо заметны четыре спиральных ребрышка, причем второе сверху чуть крупнее остальных, на пятом обороте оно становится первым килем. На пятом–шестом оборотах в результате усиления четвертого (реже пятого) сверху спирального ребра образуется второй киль. На последнем обороте у взрослых особей из-за усиления шестого или седьмого сверху ребра становится заметным наиболее слабый третий киль.

Между киями, выше и ниже их, остаются не усилившиеся спиральные ребрышки. Над первым килем у молодых особей (из пяти оборотов) имеется одно спиральное ребрышко (у взрослых – три спиральных ребрышка, из них два вторичные). Между первым и вторым киями (на 5–6 оборотах) сохраняется слабое спиральное ребрышко. На более поздних оборотах здесь появляются дополнительные (вторичные) ребрышки, число которых достигает двух. На последнем обороте (7-ом или 8-ом) между вторым и третьим киями становятся заметными одно или два слабых спиральных ребрышка, под третьим килем – семь спиральных ребрышек. Осевая скульптура появляется на четвертом обороте в виде опистоциртных ребрышек. Она сохраняется до пятого оборота включительно, затем становится почти незаметной. На одном обороте имеются от 48 до 54 осевых ребрышек. При пересечении осевых и спиральных ребрышек образуются ячейки в форме узкого параллелограмма, вытянутого вдоль оси раковины.

Устье удлинено-эллиптическое. Верхний палатально-париетальный край устья переходит в задний отросток, у взрослых особей он продолжается выше начальных оборотов раковины (объяснение терминологии дано в работе Благовещенский, Шумилкин, 2006). Палатальный край устья крыловидно расширен и имеет два саблевидных килеватых отростка. Задний боковой отросток, являющийся продолжением первого кия, направлен горизонтально вправо и назад под углом

(конец отростка) 17° – 37° к оси завитка, при этом у некоторых особей он поднимается выше начальных оборотов. Передний боковой отросток, продолжающий второй киль, направлен вправо и вперед. Передний отросток удлиненный, может быть отогнут назад. С внутренней стороны отростки имеют желобки, соответствующие киям на противоположной стороне.

Размеры в мм:

Экз. №	В	Д	ЧО
220/1	15.9	17.7	5
220/2	16.6	15.6	4.5
220/3 (голотип)	18.4	15.9	5.5

Примечание: экз. № 220/2 – сохранился задний боковой отросток, частично передний и задний отростки; экз. № 220/3 – сохранились задний боковой и передний отростки, частично сохранились передний боковой и задний отростки; экз. № 220/1 – частично сохранились передний боковой и задний боковой отростки; ЧО – число оборотов.

Изменчивость. Выражается в степени развития килей на боковых отростках (от слабо килеватых до резко килеватых) и соответствующих им желобках на противоположной стороне. Варьирует величина угла между задним боковым отростком и осью раковины, в связи с чем этот отросток может подниматься выше начальных оборотов, а может и не достигать их. Изменчивы размеры отростков по отношению к размерам раковины.

С р а в н е н и е. От очень близкого вида *T. striatocarinatum* отличается более мощными киями и наличием трех спиральных ребрышек выше первого кия (против пяти у *T. striatocarinatum*). От формы, отнесенной Головиновой и Гужовым (2009, с. 35, табл. 2, фиг. 8) к *T. striatocarinatum*, однообразные особи описываемого вида отличаются более сильным развитием первого кия по сравнению со вторым (у сравниваемого вида эти кили развиты примерно одинаково), значительно более узкими спиральными ребрами и более многочисленными осевыми ребрами (примерно 50 против 30 на оборот).

Отличия от *T. kremenkense* sp. nov. и *T. tenuicarinatum* sp. nov. даны ниже при описании этих ви-

Объяснение к таблице I

Фиг. 1, 2. *Trilemma polivnense* Blagovetshenskiy, sp. nov.: 1 – экз. ЕНМ УлГУ, № 220/2, со стороны противоположной устью ($\times 4$); с. Поливна; верхний готерив, зона decheni, слой г-13; 2 – голотип ЕНМ УлГУ, № 220/3, со стороны противоположной устью ($\times 4$); с. Поливна; верхний готерив зона decheni.

Фиг. 3, 4. *Trilemma kremenkense* Blagovetshenskiy, sp. nov.: 3 – голотип ЕНМ УлГУ, № 220/12 ($\times 2.5$); 3а – со стороны противоположной устью, 3б – со стороны устья; с. Кременки; верхний баррем, зона lahusei, слой бр-10; 4 – экз. ЕНМ УлГУ, № 220/20, со стороны противоположной устью ($\times 4$); местонахождение и возраст те же.

Фиг. 5–7. *Trilemma tenuicarinatum* Blagovetshenskiy, sp. nov.: 5 – голотип ЕНМ УлГУ, № 220/24, со стороны устья ($\times 4$); Ульяновская обл.; нижний апт, зона volgensis, уровень А8; 6 – экз. ЕНМ УлГУ, № 220/33, со стороны устья ($\times 4$); с. Панская Слобода; нижний апт, зона volgensis уровень А8; 7 – экз. ЕНМ УлГУ, № 220/28, со стороны устья ($\times 4$); г. Новоульяновск, глиняный карьер; нижний апт, зона volgensis, слой а-8.

дов. Отличия от других близких видов даны ранее (Благовещенский, Шумилкин, 2006).

Распространение. Верхний готерив, зона decheni Ульяновского Поволжья.

Материал. 30 экз. хорошей и удовлетворительной сохранности из слабопесчанистой глины.

***Trilemma kremenense* Blagovetshenskiy, sp. nov.**

Табл. I, фиг. 3, 4; табл. II, фиг. 1–4

?Aporrhais (Tessarolax) ebrayi: Пчелинцев, 1926, с. 997, табл. 33, фиг. 11–12.

Aporrhais (Tessarolax) ebrayi: Иванова, 1959, с. 364, табл. 15, фиг. 8–9.

Название вида от с. Кременки.

Голотип – ЕНМ УлГУ, № 220/12; Ульяновская обл., с. Кременки; верхний баррем, зона Oх-*teuthis lahuseni*.

Описание (рис. 2). Раковина крупная, до 40–45 мм, веретеновидная, с крыловидным расширением палатального края устья, образована 8–9 двукилеватыми оборотами. Первый киль расположен посередине оборота завитка. Второй киль находится непосредственно над нижележащим швом. В основании последнего оборота под вторым килем становится заметным более слабый третий киль. Расстояние между килеями примерно одинаковое, третий киль немного придвинут к вышележащему килею. Поверхность между килеями вогнутая, над верхним килем слабо вогнутая, почти плоская. Апикальный угол 107° , плевральный угол 47° – 51° . Тангент-линия почти прямая.

Протоконх гладкий, состоит из 3.2–3.3 оборотов, его граница с телеоконхом условно определяется появлением скульптурных элементов: с 3.25 оборота появляются спиральные ребрышки, а через 0.1 оборота – опистоциртные осевые ребрышки. На оборотах завитка закладываются четыре спиральных ребрышка, ниже закладывается и пятое спиральное ребро, частично закрываемое последующими оборотами. Начиная с пятого оборота второе сверху ребро усиливается и становится первым килем, а через оборот четвертое сверху ребро – вторым килем. Из шестого сверху ребра развивается третий киль, видимый только на последнем обороте у взрослых особей. Между килеями остаются не усилившиеся спиральные ребрышки: одно между первым и вторым килеями и одно между вторым и третьим килеями. Вторичные ребра между килеями не образуются. Ребрышко выше первого килея на имеющихся экземплярах отсутствует. Осевая скульптура представлена тонкими опистоциртными ребрышками, их 33 на оборот. Осевые ребрышки примерно в два раза уже спиральных, при их пересечении образуются ячейки в виде квадратов и слабо вытянутых вдоль оси раковины прямоугольников или параллелограммов. Осевая скульптура исчезает после

4.3–4.8 оборота, в этом месте образуется довольно явственная спайка, после чего осевые элементы представлены только линиями нарастания.

Устье удлинненно-эллиптическое. Верхний палатально-париетальный край устья переходит в задний отросток. Последний сростается с поверхностью последнего оборота до первого килея. Палатальный край устья крыловидно расширен и имеет два узкотреугольных отростка. Задний боковой отросток, являющийся продолжением первого килея, ориентирован почти горизонтально или слегка отогнут назад. Передний боковой отросток, продолжающий второй киль, направлен вправо и вперед. Передний отросток хорошо развит, отогнут назад или почти прямой. Со стороны устья отростки имеют отчетливые желобки, соответствующие килеям на противоположной стороне.

Размеры в мм:

Экз. №	В	Д	ЧО
220/8	4.0	2.5	4.5
220/9	4.9	2.8	5.3
220/14	8.5	4.4	4.5
220/12 (голотип)	26.3	26.0	6

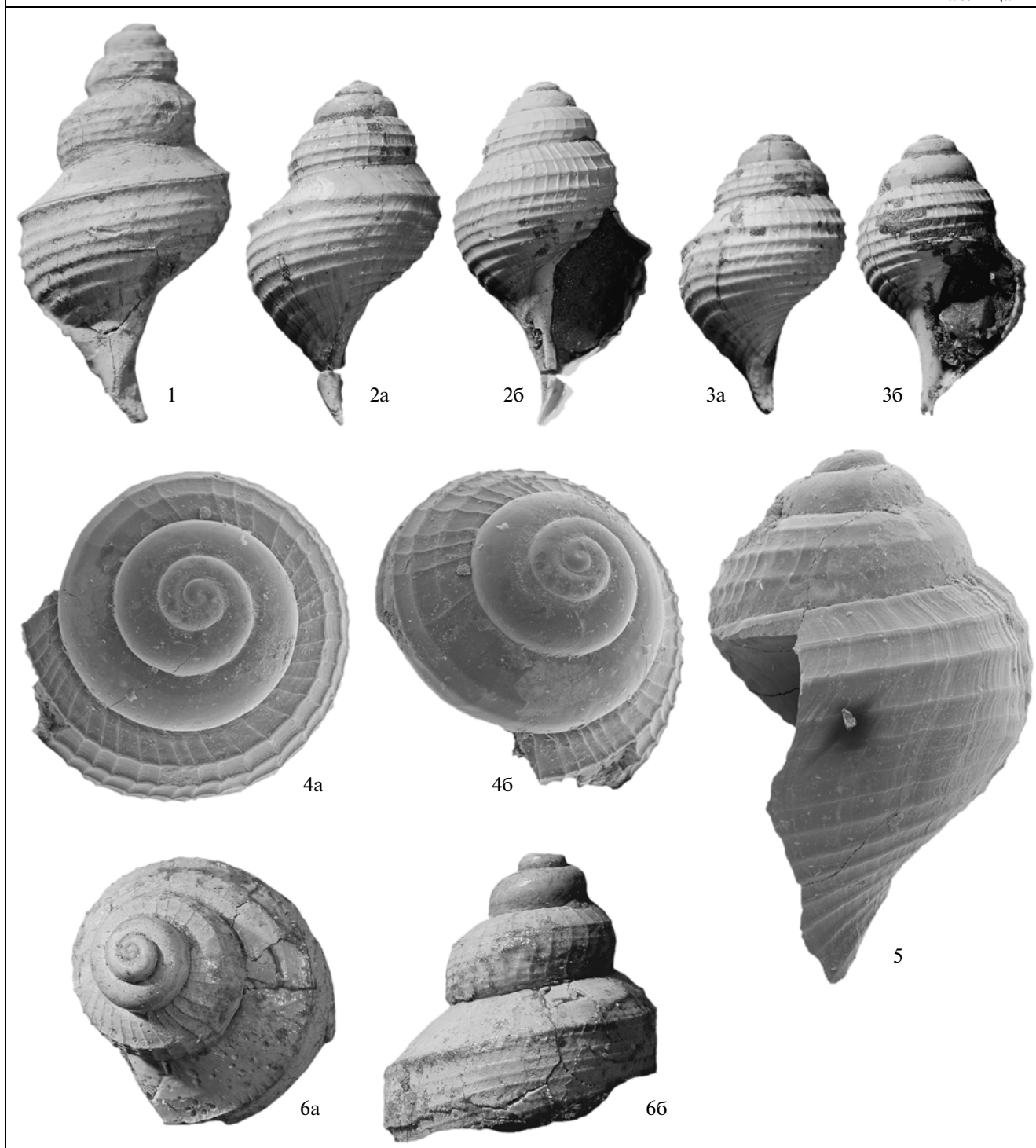
Примечание: экз. № 220/8, 220/9, 220/14 – молодые особи, отростки не сформировались; экз. № 220/12 – взрослая особь с сохранившимся задним боковым отростком.

Сравнение. От *T. polivnense* sp. nov. отличается почти прямым углом между задним боковым отростком и осью раковины (у *T. polivnense* этот угол острый), наличием в межкилевом пространстве взрослых особей одного спирального ребрышка (против трех у *T. polivnense*), менее сильно развитым первым килем по сравнению со вторым у молодых особей, меньшим числом осевых ребер на оборотах и, как следствие этого, иной формой ячеек, образующихся при пересечении осевых и спиральных ребер (у *T. kremenense* sp. nov. ячейки в виде квадрата, ромба или слабо вытянутого параллелограмма, у *T. polivnense* в виде параллелограмма, вытянутого вдоль оси раковины). От *T. striatocarinatum* отличается более мощными килеями и одним спиральным ребром в межкилевом пространстве взрослых особей (у *T. striatocarinatum* – три ребра).

От *T. russiense* (Благовещенский, Шумилкин, 2006, с. 38, табл. 5, фиг. 1–9) отличается более мощными килеями, развитием верхних двух килей из 2-го и 4-го сверху спиральных ребер (у *T. russiense* соответственно из 3-го и 5-го ребер), меньшим плевральным углом (50° – 53° против 65° – 68°) и более удлиненной раковиной (в последних двух случаях сравнивались примерно одновозрастные молодые особи).

От формы, отнесенной Головиновой и Гужовым (2009, с. 35, табл. 2, фиг. 8) к *T. striatocarina-*

Таблица II



Объяснение к таблице II

Фиг. 1–5. *Trilemma kremenkense* Vlagovetshenskiy, sp. nov.: 1 – экз. ЕНМ УлГУ, № 220/14, молодая особь, со стороны противоположной устью ($\times 8$); с. Кременки; верхний баррем, зона *lahuseni*, слой бр-10; 2 – экз. ЕНМ УлГУ, № 220/9, молодая особь с протоконхом ($\times 12$); 2a – со стороны противоположной устью, 2б – со стороны устья; г. Ульяновск; нижний баррем, зона *jasikofiana*, слой бр-6; 3 – экз. ЕНМ УлГУ, № 220/8, молодая особь с протоконхом ($\times 12$); 3a – со стороны противоположной устью, 3б – со стороны устья; местонахождение и возраст те же; 4 – экз. ЕНМ УлГУ, № 220/4, протоконх ($\times 40$); 4a – сверху, 4б – косо сверху; местонахождение и возраст те же; 5 – экз. ЕНМ УлГУ, № 220/5, молодая особь с протоконхом ($\times 40$); местонахождение и возраст те же.

Фиг. 6 – *Trilemma tenuicarinatum* Vlagovetshenskiy, sp. nov., экз. ЕНМ УлГУ, № 220/29, молодая особь с протоконхом ($\times 15$): 6a – косо сверху, 6б – сбоку; г. Новоульяновск, глиняный карьер; нижний апт, зона *volgensis*, слой а-8.

tum одновозрастные (табл. II, фиг. 1) и более молодые особи (табл. II, фиг. 2–3) отличаются значительно более узкими спиральными ребрами.

От *T. bicarinatum* (Leymerie, 1842, с. 14, 31, табл. 17, фиг. 14), *T. ebrayi* (Loriol, 1882, с. 25, табл. 3, фиг. 16–20), *T. fittoni* (Gardner, 1875b, с. 293, табл. 7, фиг. 4) и *T. retusum* (Gardner, 1875a, с. 52, табл. 3, фиг. 1–6) отличается наличием третьего кия. От *T. moreausianum* (d'Orbigny, 1842–1843, с. 301, табл. 211, фиг. 1–2) отличается срастанием заднего отростка лишь с последним оборотом (у *T. moreausianum* задний отросток срастается со всеми вышележащими оборотами), постепенным сужающимися передним боковым и задним боковым отростками (у сравниваемого вида они резко сужены), наличием одного спирального ребрышка в межкилевом пространстве (против двух у *T. moreausianum*).

З а м е ч а н и я. Экз. УПМ, № 519 (Благовещенский, Шумилкин, 2006, табл. VI, фиг. 1), первоначально определенный нами как *T. striatocarinatum*, возможно, является *T. kremenkense* sp. nov., так как его задний боковой отросток направлен почти перпендикулярно к оси раковины, что характерно для последнего вида, и, вероятно, происходит из баррема Ульяновского Поволжья. Возникшие сомнения в отношении возраста также обусловлены отсутствием первичных данных о географической и стратиграфической привязке экз. УПМ, № 519 (они устанавливались впоследствии по косвенным признакам).

М а т е р и а л. 40 экз. хорошей и удовлетворительной сохранности из алевролитистых глин баррема и основания нижнего апта, зона *jakofiana*: экз. ЕНМ УлГУ, № 220/4, 220/5, 220/6, 220/7, 220/8, 220/9; слой бр-6, г. Ульяновск (K_1br_1j); зона *rugio*: экз. ЕНМ УлГУ, № 220/10, 220/11; слой бр-8, г. Ульяновск (K_1br_1rug); зона *lahuseni*: голотип ЕНМ УлГУ, № 220/12, экз. ЕНМ УлГУ, № 220/13, 220/14, 220/15, 220/16, 220/17, 220/18, 220/19, 220/20, 220/21; слой бр-10, с. Кременки (K_1br_2l); экз. ЕНМ УлГУ, № 220/22; слой бр-14, Кременки (K_1br_2l); основание нижнего апта, слой а-0.5, 1 км к югу от с. Криуши (K_1a_1): экз. ЕНМ УлГУ, № 220/23.

***Trilemma tenuicarinatum* Blagovetshenskiy, sp. nov.**

Табл. I, фиг. 5–7; табл. II, фиг. 6

Н а з в а н и е вида от *tenuis* *лат.* — тонкий и *carina* *лат.* — киль.

Г о л о т и п — ЕНМ УлГУ, № 220/24; Ульяновская обл.; нижний апт, зона *Deshayesites volgensis*, подзона *Volgoceratoides schilovkensis*.

О п и с а н и е (рис. 2). Раковина довольно крупная, до 35 мм, веретеновидная, с крыловидным расширением палатального края устья, образована семью–девятью двукилевыми оборота-

ми. Кили развиты довольно слабо, на оборотах завитка второй киль обычно не заметен, так как закрывается последующими оборотами. Поверхность оборотов между киями и под нижним килем слабовыпуклая, над верхним килем плоская. Апикальный угол 93° – 94° , плевральный угол 41° . Тангент-линия слабовыпуклая.

Протоконх состоит из 3.2–3.5 оборотов, граница между протоконхом и телеоконхом нерезкая и условно определяется появлением скульптурных элементов. Первые 3.2–3.3 оборота гладкие, затем появляются тонкие осевые опистоциртные ребрышки и одновременно в верхней части оборота намечается перегиб. Начиная с 3.4–3.5 оборота, на перегибе формируется ребрышко (позднее усиливающееся и переходящее в первый киль), ниже его закладывается еще шесть спиральных ребрышек (нижнее из которых на последующих оборотах также усиливается, формируя второй киль). Оба кия хорошо видны на последнем обороте. Остальные элементы спиральной скульптуры представлены вторичными и не усилившимися первичными ребрышками. Спиральные элементы выше первого кия закладываются с 4.5 оборотов в виде двух, затем трех очень слабых ребрышек, сохраняющихся и на последнем обороте. Их следует считать вторичными, поскольку они появились несколько позже остальных спиральных ребрышек. Между киями сохраняются пять (реже 4) не усилившихся первичных спиральных ребрышек. На последнем обороте становятся заметными 9–10 спиральных ребрышек ниже второго кия. Осевая скульптура представлена тонкими опистоциртными ребрышками, которые постепенно сглаживаются, начиная с 4.5 оборота, и отсутствуют у взрослых особей на последнем обороте. На один оборот приходится в среднем 40 ребрышек. Осевые и спиральные ребрышки, пересекаясь, образуют ячейки в виде параллелограммов, вытянутых поперек оси раковины, реже квадратов или ромбов.

Устье удлинненно-эллиптическое. Верхний палатально-париетальный край устья переходит в задний отросток саблевидной формы. У взрослых экземпляров он срастается со всеми вышележащими оборотами (у молодых с 1–2 оборотами) и продолжается выше вершины раковины. Палатальный край устья крыловидно расширен и имеет два отростка. Задний боковой отросток, являющийся продолжением первого кия, имеет саблевидную форму, первоначально направлен горизонтально вправо, затем изгибается назад под углом 17° к оси завитка. Его окончание находится на уровне вершины раковины. Передний боковой отросток, продолжающий второй киль, направлен вправо и вперед. Оба отростка со стороны устья имеют желобки, соответствующие киям на противоположной стороне. Передний отросток (ростр) имеет саблевидную форму, резко отогнут назад.

Размеры в мм:

Экз. №	В	Д	ЧО
220/29	—	3.0	4.7
220/28	12.3	11.1	5
220/25	13.8	13.5	4
220/33	14.4	15.2	5
220/24 (голотип)	27.0	21.5	6

Примечание: экз. № 220/29 — молодая особь, отростки не сформировались, из 4.7 оборота 3.2 — приходится на протоконх; экз. № 220/28 — сохранились передний боковой и задний боковой отростки, частично сохранились передний и задний отростки; экз. № 220/25 — сохранились передний, передний боковой и задний боковой отростки, частично сохранился задний боковой отросток; экз. № 220/33 — сохранились передний, передний боковой и задний боковой отростки; экз. № 220/24 — сохранились передний боковой, задний боковой и задний отростки.

Изменчивость. Проявляется в количестве спиральных ребрышек между киями: обычно их 5, но иногда 4, из-за “выполживания” одного из ребрышек, или 6 — при появлении вторичного ребрышка. Развитие отростков начинается с определенного возраста (6–7 оборотов), первоначально отростки почти прямые и короткие, затем удлиняются по отношению к общим размерам раковины и становятся более изогнутыми. С возрастом сглаживается и осевая скульптура.

Сравнение. От остальных видов рода, встречающихся в нижнемеловых отложениях Ульяновского Поволжья — *T. russiense* (Благовещенский, Шумилкин, 2006, с. 40, табл. V, фиг. 2–6), *T. polivnense* sp. nov., *T. kremenkense* sp. nov. и от *T. striatocarinatum* из нижнего мела Саратовского Поволжья отличается очень слабым развитием килей, отсутствием третьего кия, наличием в межкилевом пространстве пяти (четырёх) спиральных ребер (против одного–трех у других видов) и срастанием заднего отростка со всеми оборотами (у сравниваемых видов задний отросток срастается лишь с одним–двумя вышележащими оборотами). Раковины молодых особей описываемого вида отличаются от таковых указанных выше видов Ульяновского Поволжья развитием килей из 1-го и 7-го спиральных ребрышек вниз от вышележащего шва (у *T. russiense* соответственно из 3-го и 5-го ребрышек, у *T. polivnense* sp. nov. и *T. kremenkense* sp. nov. из 2-го и 4-го), более слабым развитием осевой и спиральной скульптуры, а также формой ячеек, образовавшихся при пересечении осевых и спиральных ребрышек (параллелограммовидные, вытянутые поперек оси раковины у описываемого вида и квадратные, прямоугольные и параллелограммовидные, вытянутые вдоль оси раковины у сравниваемых видов). От *T. russiense* отличается еще и меньшим плевральным углом (55° против 65°–68°).

От *T. moreausianum* (d’Orbigny, 1842–1843, с. 301, табл. 211, фиг. 1–2), также имеющего срастание заднего отростка со всеми оборотами, отличается отсутствием третьего кия и наличием пяти ребер в межкилевом пространстве (против двух у *T. moreausianum*).

От *T. bicarinatum* (Leymerie, 1842, с. 14, 31, табл. 17, фиг. 14), *T. ebrayi* (Loriol, 1882, с. 25, табл. 3, фиг. 16–20), *T. fittoni* (Gardner, 1875b, с. 293, табл. 7, фиг. 4) и *T. retusum* (Gardner, 1875a, с. 52, табл. 3, фиг. 1–6), также не имеющих третьего кия, отличается более слабыми киями и большим количеством спиральных ребрышек в межкилевом пространстве (пять против одного–трех).

От *T. retusum* (Kiel, 2006, с. 466, 467, фиг. 6.1–6.3) описываемый вид отличается более слабыми киями, наличием пяти спиральных ребрышек в межкилевом пространстве (у *T. retusum* — три), меньшим числом спиральных ребер выше первого кия (три против четырех–пяти) и значительно более выпуклыми оборотами протоконха на уровне появления скульптурных элементов.

От *T. densestriatum* (Kase, Maeda, 1980, с. 314, рис. 10, табл. 36, фиг. 1–3) отличается более слабыми киями, срастанием заднего отростка со всеми оборотами, вытянутыми поперек оси раковины ячейками (у сравниваемого вида ячейки квадратные или ромбические).

Материал. 50 экз. хорошей и удовлетворительной сохранности из темно-серых глин и карбонатных конкреций нижнего апта, зона *volgensis*, подзона *schilovkensis*: голотип ЕНМ УлГУ, № 220/24; уровень А8 (карбонатная конкреция), Ульяновское Поволжье (K_{1a1v}); экз. № 220/25; А8 (карбонатная конкреция), Ульяновское Поволжье (K_{1a1v}); экз. № 220/26; уровень А8 (карбонатная конкреция), Криуши (K_{1a1v}); экз. № 220/27; слой а-8, 1 км к югу от с. Криуши (K_{1a1v}); экз. № 220/28, 220/29, 220/30, 220/31, 220/32; слой а-8, Новоульяновск, карьер (K_{1a1v}); экз. № 220/33; уровень А8 (карбонатная конкреция), окр. с. Панская Слобода (K_{1a1v}); подзона *matheronianum*: экз. № 220/34; уровень А10 (карбонатная конкреция), Ульяновское Поволжье (K_{1a1v}).

Авторы выражают благодарность Е.Ю. Барбошкину (МГУ) за ценные замечания и консультации при подготовке статьи, А.В. Гужову (ПИН) за содействие в изготовлении фотографий на сканирующем микроскопе и полезные советы по теме данной работы.

СПИСОК ЛИТЕРАТУРЫ

Барбошкин Е.Ю. Нижнемеловой аммонитовый зональный стандарт Бореального пояса // Бюлл. МОИП. Отд. геол. 2004а. Т. 79. Вып. 5. С. 44–68.

- Барбошкин Е.Ю.* Борейно-тетическая корреляция нижнемеловых аммонитовых шкал // Вест. Моск. ун-та. Сер. 4. Геол. 2004б. № 6. С. 10–19.
- Барбошкин Е.Ю., Михайлова И.А.* Новая стратиграфическая схема нижнего апта Среднего Поволжья // Стратигр. Геол. корреляция. 2002. Т. 10. № 6. С. 82–105.
- Благовещенский И. В., Шумилкин И. А.* Брюхоногие моллюски из готеривских отложений Ульяновского Поволжья. 1. Семейство Aporrhaidae // Палеонтол. журн. 2006. № 1. С. 33–42.
- Головинова М.А., Гужов А.В.* Раннемеловые гастроподы Среднего и Нижнего Поволжья из коллекции П.А. Герасимова // Палеонтол. журн. 2009. № 5. С. 31–36.
- Гришанов А.Н.* Палеомагнитный разрез меловых отложений Саратовского Правобережья // Вопросы геологии Южного Урала и Поволжья. Стратиграфические и литологические исследования. Саратов: Изд-во СГУ, 1984. С. 56–62.
- Иванова А.Н.* Двустворчатые, брюхоногие и белемниты юрских и меловых отложений Саратовского Поволжья // Стратиграфия и фауна юрских и меловых отложений Саратовского Поволжья. Л.: Гос. науч.-тех. изд-во нефт. и горн.-топл. лит.-ры, 1959. С. 267–459 (Тр. Всесоюз. нефт. н.-и. геологоразвед. ин-та. Вып. 137).
- Пчелинцев В.Ф.* Брюхоногие альбского яруса Соколовой горы у Саратова // Изв. Геол. ком. 1926. Т. 45. № 9. С. 991–999.
- Синцов И.Ф.* Описание некоторых видов мезозойских окаменелостей из Симбирской и Саратовской губерний // Зап. Новороссийск. об-ва естествоиспыт. 1880. Т. 7. Вып. 1. С. 1–12.
- Синцов И.Ф.* Общая геологическая карта России. Лист 92 // Тр. Геол. ком. 1888. Т. 7. № 1. С. 1–132.
- Baraboshkin E.J., Mutterlose J.* Correlation of the Barremian belemnite successions of northwest Europe and the Ulyanovsk – Saratov area (Russian Platform) // Acta Geol. Pol. 2004. V. 5. № 4. P. 499–510.
- d'Orbigny A.* Paléontologie française. Description des mollusques et rayonnés. Terrain crétacés. T. 2. Gastéropodes. P.: Victor Masson, 1842–1843. 456 p.
- Gardner J.S.* On the Gault Aporrhaidae // Geol. Mag. N. ser. 1875a. Dec. 2. V. 2. № 2. P. 49–56.
- Gardner J.S.* On the Gault Aporrhaidae // Geol. Mag. N. ser. 1875b. Dec. 2. V. 2. № 7. P. 291–298.
- Guzhikov A. Yu., Baraboshkin E. Yu., Birbina A. V.* New paleomagnetic data for the Hauterivian-Aptian deposits of the Middle Volga region: A possibility of global correlation and dating of time-shifting of stratigraphic boundaries // Russ. J. Earth Sci. 2003. V. 5. № 6. P. 401–430.
- Kase T., Maeda H.* Early Cretaceous Gastropoda from the Choshi District, Chiba Prefecture, central Japan // Trans. Proc. Palaeontol. Soc. Japan. N. S. 1980. № 118. P. 291–324.
- Kiel S.* New and little-known gastropods from the Albian of the Mahajanga Basin, northwestern Madagascar // J. Paleontol. 2006. V. 80. № 3. P. 455–476.
- Leymerie A.* Suite de mémoire sur le terrain crétacé du département de l'Aube. II partie // Mém. Soc. géol. France. Sér. 1. 1842. T. 5. P. 1–34.
- Loriol P.* Études sur la faune des couches du Gault de Cosne (Nièvre) // Mém. Soc. Paléontol. Suisse. 1882. V. 9. P. 1–103.
- Wollemann A.* Nachtrag zu meinen Abhandlungen über die Bivalven und Gastropoden der unteren Kreide Norddeutschlands // Jahr. Kgl. Preuss. Geol. Landes. Berlin. 1912. Bd 29. H. 2. S. 151–193.

Gastropods of the Family Aporrhaidae from the Lower Cretaceous of Ulyanovsk, Volga Region

I. V. Blagovetshenskiy, I. V. Shumilkin

Three new species of the genus *Trilemma* (family Aporrhaidae), *T. polivnense* Blagovetshenskiy, sp. nov., *T. kremenkense* Blagovetshenskiy, sp. nov., and *T. tenuicarinatum* Blagovetshenskiy, sp. nov., from the Lower Cretaceous of the Volga Region near Ulyanovsk are described. The data on the stratigraphic range of these species are provided.

Keywords: Gastropoda, Aporrhaidae, Lower Cretaceous, Upper Hauterivian, Barremian, Lower Aptian, Ulyanovsk Region.